

Tectonic Subsidence in the AL-Qaryatayn Area

Moussa Shemalli * 

Dr. Abd ALkrim ALabdalla **

Dr. Samer ALbub ***

(Received 18 / 6 / 2025. Accepted 17 / 9 / 2025)

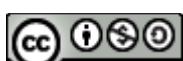
□ ABSTRACT □

We conducted a study of tectonic subsidence in the Al-Qaryatayn area based on well data provided by the General Petroleum Corporation (Al-Qaryatayn Well) from a depth of 100m to 3250m. The study covered ages from the Upper Cretaceous to the Middle Triassic. The results revealed a significant and continuous subsidence phase during the Triassic (S1), linked to the Permian-Triassic rifting event—one of the most important global tectonic events—with a high sedimentation rate (57.2 m/My).

In the Jurassic, a dominant phase (S2) reflected relative tectonic stability, ending with an uplift of the sedimentary basin floor. Initially, this phase coincided with thermal subsidence but concluded with local uplifts represented by very long wavelengths. This local tectonic event extended along the Palmyride Belt in its northern and southern segments, with a relatively low sedimentation rate (3.6 m/My).

Subsequently, a major and continuous subsidence phase began in the Cretaceous (S3), associated with the formation of rift systems in the region, such as the Euphrates Graben. This event represents a regional tectonic episode affecting the structure of the Palmyride Belt and adjacent formations, with a moderately high sedimentation rate (14.15 m/My) compared to the Triassic rate.

Keywords: Tectonic subsidence – Sedimentation rate – Sedimentation basin.



Copyright :Latakia University Journal (Formerly Tishreen) -Syria, The authors retain the copyright under a CC BY-NC-SA 04

* Ph.D Student– Department of Geology- Faculty of Science- Lattkia University (Formerly Tishreen) – Lattkia-Syria. mousa.shemaly@tishreen.edu.sy

**Associate Professor – Department of Geology– Faculty of Science- Lattkia University (Formerly Tishreen) –Latakia-Syria –Abdalkarim.Alabdalla@tishreen.edu.sy

***Associate Professor – Department of Geology – Faculty of Science -Lattkia University (Formerly Tishreen) Latakia-Syria. Samer.albub@tishreen.e

الهبوط التكتوني في منطقة القرىتين

موسى فؤاد شمالي * ID

* د. عبد الكريم العبد الله *

د. سامر الباب **

(تاریخ الإیداع 18 / 6 / 2025. قبل للنشر في 17 / 9 / 2025)

□ ملخص □

قمنا بدراسة الهبوط التكتوني في منطقة القرىتين وفق المعطيات البئرية المتوفرة في المؤسسة العامة للنفط لبئر القرىتين من عمق 100م حتى 3250م، ضمت الأعمار من الكريتاسي الأعلى حتى الترياسي الأوسط، حيث بينت هذه الدراسة وجود مرحلة هبوط مستمرة وكبيرة في الترياسي S1 ترتبط بمرحلة الإنهاك البرمي - الترياسي الذي يعتبر من أهم الأحداث التكتونية العالمية، وبمعدل ترسيب كبير (57.2 m/My)، أما في الجوراسي سادت مرحلة رئيسة S2 تعكس استقرار نسبي في الهبوط لتنتهي في نهوض قاع حوض الترسيب، وهي في البداية تتوافق مع مرحلة هبوط حراري لتنتهي هذه المرحلة بنهوهضات محلية تتمثل بطريق طويلاً جداً، هذا الحدث التكتوني المحلي على أمتداد السلسلة التتميرية بجزئيها الشمالي والجنوبي، وبمعدل ترسيب صغير نسبياً (3.6 m/My)، لتببدأ مرحلة هبوط مستمرة وكبيرة في الكريتاسي S3، ارتبطت بمرحلة تشكيل الإنهاكات في المنطقة مثل انهدام الفرات، حيث يعتبر حدث تكتوني إقليمي على مستوى بنية السلسلة التتميرية، والبنيات المجاورة، وبمعدل ترسيب كبير نوعاً ما (14.15 m/My) مقارنة بمعدل الترسيب في الترياسي.

الكلمات المفتاحية: الهبوط التكتوني، معدل الترسيب، حوض الترسبي.



حقوق النشر : مجلة جامعة اللاذقية (تشرين سابقاً) - سوريا، يحتفظ المؤلفون بحقوق النشر بموجب CC BY-NC-SA 04 الترخيص

* طالب دكتوراه - قسم الجيولوجيا - كلية العلوم - جامعة اللاذقية (تشرين سابقاً) - اللاذقية - سوريا .
** أستاذ مساعد - قسم الجيولوجيا - كلية العلوم - جامعة اللاذقية (تشرين سابقاً) - اللاذقية - سوريا .
*** أستاذ مساعد - قسم الجيولوجيا - كلية العلوم - جامعة اللاذقية (تشرين سابقاً) - اللاذقية - سوريا .

مقدمة:

الهبوط التكتوني هو هبوط قاع الحوض الرسوبي نتيجة سبب تكتوني، وتساهم دراسة الهبوط التكتوني في فهم مراحل تشكيل الحوض الرسوبي وتطورها التكتوني مع الزمن. حيث أن تأثير التحميل الرسوبي على قاع الحوض يشكل 60-80% من الهبوط الملحوظ وما تبقى سببه تكتوني صرف حسب [1]. فالتراكمات الكبيرة من الرسوبيات والتي قد تصل لأكثر من 1000م من الطبقات الرسوبيّة (كما هو الحال في رسوبيات الترياسي والجوراسي والكريتاسي في منطقة القريتين التابعة للجزء الجنوبي الغربي من السلسلة التدمرية)، والتي توضع في وسط مائي يتراوح عمقه 60-0م لا يمكن تفسير حدوثها إلا بوجود هبوط قاع الحوض الترسبي، فالحوض بدون هبوط قاعه سيتئى وتتعرض طبقاته للتحلل ولن تصبح التراكمات الرسوبيّة ثخينة بالأصل، وإن أصل الهبوط في الغالب تكتوني ناتج عن ترقق قشرى وقد يكون الهبوط من أصل حراري (هبوط حراري)، والهبوط التكتوني هام جداً في المجالات القارية حيث يساهم في تشكيل الأحواض الرسوبيّة الكبيرة، أما الهبوط الحراري فيلاحظ بوضوح في المجالات المحيطية حيث يفسر هبوط الليثوسيفير المحيطي مع الزمن بالابتعاد عن العرف المحيطي المرتبط بانخفاض الحرارة، وبالتالي زيادة عمق الأحواض الرسوبيّة المحيطية حسب [2]، حيث إن منحنيات الهبوط التكتوني التي تمثل نمذجة لتطور الحوض الرسوبي تقدم صورة عن المراحل المتعاقبة من مراحل شدّ تسبب الانهدامات أو مراحل ضغط توقف الهبوط مع نهوض في قاع الحوض أو بدونه حسب [1].

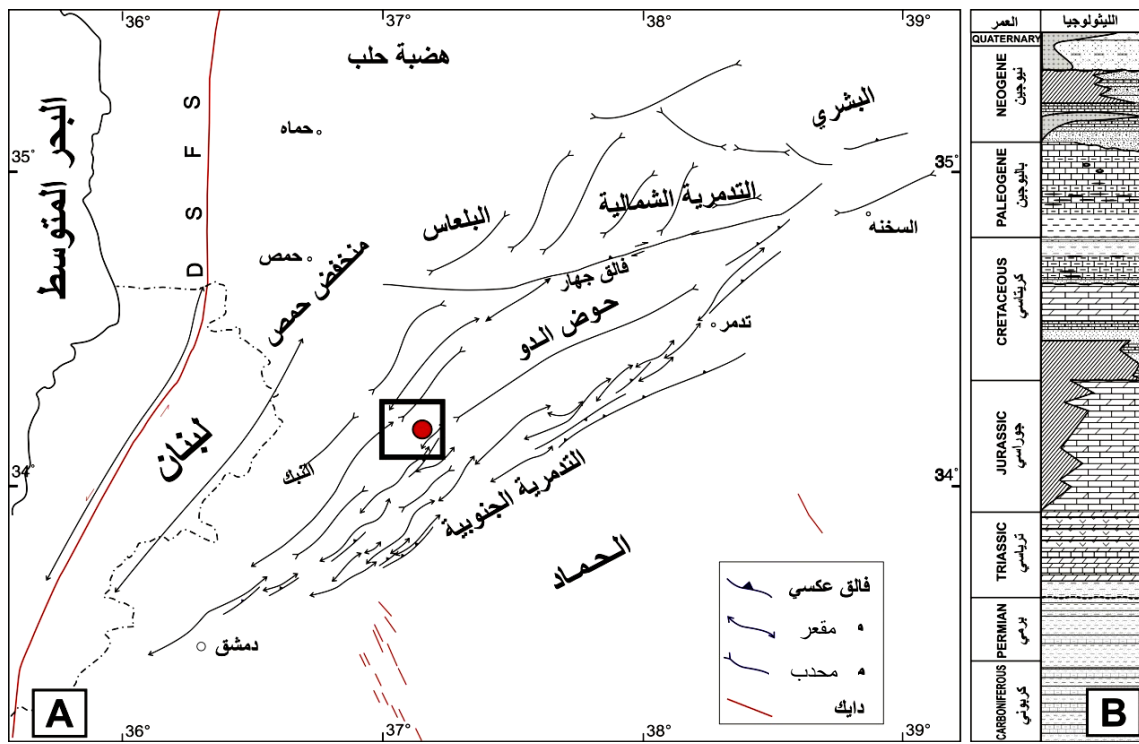
إن السلسلة التدمرية حالياً هي البنية الضغطية الرئيسية في شمال الصفيحة العربية في سوريا باتجاه NE-SW وتمتد على 400 كم من حدود لبنان-سوريا في الجنوب الغربي حتى انهدام الفرات في الشمال الشرقي، وفي الباليوزوي الأعلى وحتى الميزوزوي، شكلت التدمرية حوضاً ضمن قارياً اتجاه NE-SW يضم في مركزه 11 كم من رسوبيات الفانيروزويك هذه السماكة تترجم الإنخفاض الهام في حوض التدمرية وخصوصاً في البرموترياسي وفقاً لـ[3]، وإن مورفولوجية التدمرية الحالية هي ناتجة عن انقلاب للحوض القديم للتدمرية، و دراسة الهبوط التكتوني فيها يظهر المراحل التي مررت بها خلال تاريخها الجيولوجي.

الإطار الجيولوجي العام:

تقع منطقة القريتين في الجزء الجنوبي الغربي من السلسلة التدمرية الشكل 1، وتبعد عن مدينة دمشق حوالي 120كم، يحدها من الشمال الغربي سلسلة جبال القلمون، ويحدها من الجنوب الشرقي سلسلة جبل غراب.

تكتونياً تقع منطقة القريتين في جنوب غرب منخفض حوض الدو، على الطرف الشمالي من سلسلة الجبال التدمرية الجنوبيّة، ونجد فيها بنيات ذات اتجاه شمال شرق - جنوب غرب مثل محدبات التالية: مكسر النمر، روس الطوال، المحسنة، صوانة المحسنة، جبيل، حزم الغربيات، مهين، المخرش.

توجد في المنطقة أيضاً فوائق رئيسة تأخذ اتجاه البنية العامة لسلسلة التدمرية NE-SW الشكل 1، كما نجد فوائق ثانوية ذات اتجاه W-E، إلى الجنوب الشرقي من محور المحدبات نجد فوائق الدثر العكسية التي تميز السلسلة التدمرية الجنوبية.

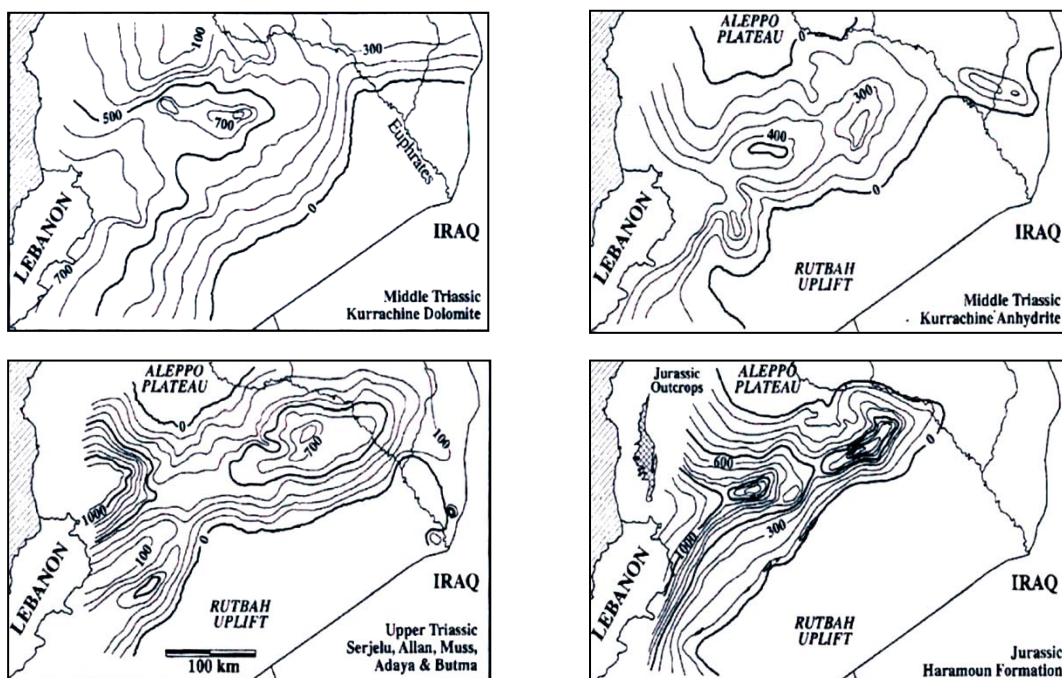


الشكل (1): خريطة بنوية لشمال غرب الصفيحة العربية حسب [4]، تبين الوحدات البنوية الرئيسية في غرب سوريا وموقع منطقة البحث.

ستراتغرافياً: تظهر المعطيات ما تحت السطحية أن الكامبري والسيلوري الأسفل موجودين تحت التدمرية، ويتكونان من حجر رملي وغضار لبحر قليل العمق بسمكية كليلة من 5 كم حتى 1.5 كم، أما الكربوني فيتووضع بعدم التوافق على السيلوري الأسفل في شرق التدمرية. يكون البرمي نسبياً سميكة بالنسبة لصفحة حلب ونهوض الرطبة بسبب انخفاض في حوض التدمرية (200 م حتى أكثر من 800 م).

تسارع الانخفاض في التدمرية خلال триاسي حيث توضع أكثر من 1000 م من الرسوبيات حسب [5]، وتصل حتى 1500 م في بلوك البشاري الشكل 2، يتكون الترياسي من حجر رملي في الأسفل مع كربونات ومتخررات في الأعلى، يكون اتجاه محور حوض الترياسي في التدمرية NE-SW، ويكون مفتوحاً نحو حوض المشرق حيث تصل سمكية الترياسي لأكثر من 2200 م، ويتكشف الجوراسي على السطح كصخور كربوناتية وتصل سمكتها حتى 1000 م في البلعاش كما في [6]، تزداد سمكية الجوراسي نحو الغرب شكل 2 لتصل لأكثر من 2500 م في لبنان حسب [5]، وهذه السمكية العالية فسرت كنتيجة لمتابعة الانخفاض الترياسي كما جاء في [3,7,6,8]، تعرضت رسوبيات الجوراسي للتحلل بشكل كبير بسبب مرحلة تعرية في نهاية الجوراسي وبداية الكريتاسي ولكنها بقيت محفوظة في مركز التدمرية. يتوضع الكريتاسي الأسفل بعدم توافق على رسوبيات الجوراسي الأوسط والأعلى في. إن فترة الحت في نهاية الجوراسي ساهمت بإعطاء سحنة حطامية رملية حمراء من عمر النيوكوميان (شكيلة شريفا). في جنوب غرب التدمرية فتدخلت مستويات بازلية مع المستويات الرسوبية من عمر الأبسليان حسب [9] ذات التركيب الكلسي الدولومي والحجر الرملي، وتشير رسوبيات الألبان الكربوناتية إلى تجاوز جديد في المنطقة وهي مكونة من دولوميت مارني مع تداخلات من الأنتهريت والكلس بسمكية عظمى 150 م حسب أيضاً [9]، ويتكشف الكريتاسي الأعلى بشكل واسع في التدمرية ويتكون من عدة تشکیلات الجودیا من عمر سینومانیان - تورونیان

والسخنة من عمر كونياسيان - كامبانيان والشيرانيش من عمر الكامبانيان - ماسترختيان. يتكون الباليوجين من عدة تشكيلات مثل عليجي من عمر الباليوسين - أيوسين أسفل والجدا من عمر الإيوسين الأوسط-أعلى، وهو من سحنة كلاسية حوارية مع عدة مستويات جدارية واضحة في الطبيعة حسب [9]، ويوجد النيوجين حصرياً في المقرارات وأهمها مقعر منخفض الدُّو في مركز التدمرية، هذه التوضيعات القارية من عمر الميوسين الأسفل - أوسط تكون بعدم توافق زاوي على الصخور القدم، وهو مكون من حجر رملي وكونفلوميرا وكريونات حمراء اللون متراقة مع حص ومارل حسب [9].



الشكل 2: خارطة تساوي سماكة رسوبيات триاسي والجوراسي في السلسلة التدمرية حسب [10].

أهمية البحث وأهدافه:

تمتلك منطقة الدراسة أهمية كونها تميّز بموقعها والتي تعد جزء من التدمرية الجنوبيّة، ولما ما تحتويه من تشكيلات منتجة للمواد الهيدروكريوناتيّة، حيث تساعد دراسة الهبوط التكتوني في تحديد مراحل نطور الحوض الرسوبي عبر الأزمنة الجيولوجية، والذي يعتبر قيمة مضافة لفهمنا للتطور ونضوج المادة العضوية، بالإضافة لتحديد فهم كامل عن توضع الرسوبيات وتشكيلاتها. يهدف البحث إلى:

- 1 حساب الهبوط التكتوني في حوض القريتين اعتماداً على معطيات البئرية لبئر القريتين.
- 2 تحديد المراحل الرئيسية التكتونية التي مر بها الحوض الرسوبي في المنطقة.

طائق البحث و مواده:

تم الاعتماد في طريقة العمل على المعادلة الرياضية الأساسية لحساب الهبوط التكتوني حسب [11,12]، وعلاقة حساب الهبوط التكتوني الصرف حسب [13]، والتي طبقت على معطيات الحفر والعمود الليتوولوجي في عمود ليتولوجي لتشكيلات من الترياسي حتى الكريتاسي في منطقة القريتين المنفذ من قبل الشركة السورية للنفط:

$$\begin{aligned} Y &= W_d + S_0 [(\rho_m - \rho_s) / (\rho_m - \rho_w)] - \Delta sl [\rho_m / (\rho_m - \rho_w)] \\ Y_t &= S_0 [(\rho_m - \rho_s) / \rho_m] + W_d [(\rho_m - \rho_w) / \rho_m] - \Delta sl \end{aligned} \quad \dots\dots\dots(1)$$

حيث أن: Y الهبوط التكتوني الكلي، Y_t الهبوط التكتوني الصرف، W_d عمق المياه في الحوض أثناء ترسيب تشكيلة ما، S_0 التحميل الرسوبي (Sediment loading)، Δsl ($\rho_m / \rho_m - \rho_w$) ثخانة الرسوبيات الأولية، ρ_w كثافة ماء البحر، ρ_m كثافة المعطف، ρ_s كثافة الرسوبيات، Δsl تغير منسوب البحر خلال الزمن الجيولوجي الذي ترسبت خلاله تشكيلة ما.

لحساب الهبوط التكتوني قمنا بالآتي:

حساب ثخانة الرسوبيات الأولية S_0 عن طريق عملية فك التراص (Backstripping)، أي نقوم بإعادة ثخانة الوحدات stratigraphic إلى سماتكها الأصلية قبل التراص، وبمعنى آخر تحديد الثخانة الأولية للرسوبيات عند ترسيبها في الحوض الرسوبي. وتحسب من خلال العلاقة حسبما جاء في [12]:

$$S_0 = S(1-\emptyset)/(1-\emptyset_0) \dots\dots\dots(2)$$

حيث S الثخانة الحالية للطبقة أو التشكيلة المراد فك تراصها، \emptyset مسامية الطبقات الصخرية الحالية، \emptyset_0 المسامية الأولية للرسوبيات. ويتم فك التراص للطبقات والتشكيلات الصخرية اعتباراً من أقدم تشكيلة في الأسفل إلى الأحدث في الأعلى، بعد حساب المسامية الحالية والمسامية الأولية للطبقات الصخرية:

حساب المسامية الأولية للرسوبيات \emptyset_0 : يقصد بالمسامية الأولية مسامية الرسوبيات عندما كانت قرب السطح أي عند ترسيبها وقبل تعرضها للهبوط أو أي عوامل أخرى (كتل الرسوبيات) تؤدي لتصبها ولتناقص هذه المسامية، ويتم حسابها من خلال العلاقة كما في [11-12]:

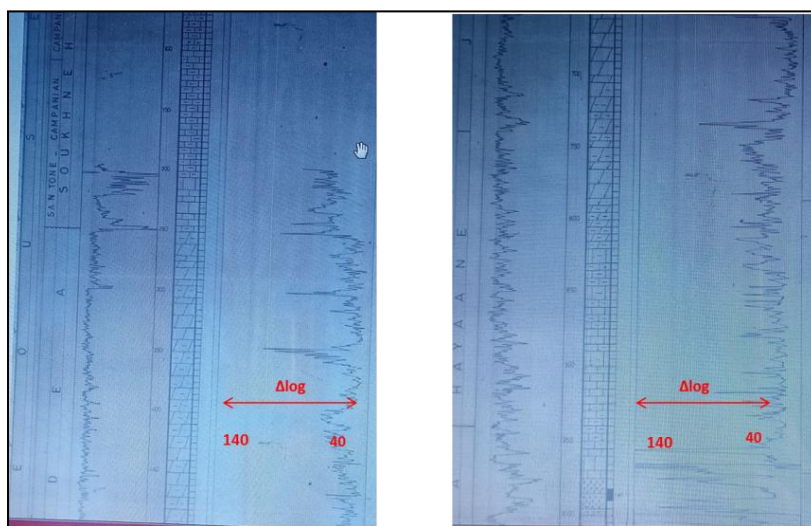
$$\emptyset = \emptyset_0 e^{-cy} \dots\dots\dots(3)$$

حيث: \emptyset مسامية الطبقات الصخرية الحالية عند العمق y ، \emptyset_0 المسامية الأولية، c ثابت يتعلق بالتركيب lithological للصخر. أو تحسب من خلال منحنى نظري لتغير المسامية مع العمق لكل نوع صخري حسب [14-15]، وتبين العلاقة 3 بأن المسامية تتغير بشكل أسي مع العمق، ولحساب المسامية على السطح نحتاج لمعرفة المسامية الحالية للطبقات الصخرية (\emptyset) التي يتم حسابها من معطيات دراسة الشرائح الصخرية وهي متوفرة في دراسات ترسيبية متعددة في المنطقة من أهمها دراسة [16]، أو من خلال القياسات البئرية الصوتية في بئر القريتين والمنتشرة من منحي sonic (sonic log)، الذي يسجل Δt المقياس بالميكروثانية/قدم، وهو مدرج من 40 إلى 140 من اليمين إلى اليسار، وبما أن سرعة الأمواج الصوتية في الصخر ترتبط مع المسامية بعلاقة عكسية قمنا بتطبيق العلاقة التالية كما جاء في [17-18]:

$$\emptyset = \Delta t_{log} / \Delta t_{ma} \dots\dots\dots(4)$$

حيث: Δt_{log} تؤخذ من منحي التسجيل الصوتي للبئر (معطيات بئر القريتين المتوفرة لدى المؤسسة العامة للنفط) (الشكل 3 عينة من المعطيات من سجل بئر القريتين وفقاً ل[19])، Δt_{ma} وهي 189 للطفلة العذبة غالباً، 185 للطفلة المالحة، أما Δt_{ma} فتؤخذ من جدول خاص يمثل قيم Δt_{ma} لكل نوع صخري، فمثلاً تكون Δt_{ma} للحجر

الكلي 47.6 وللدولوميت 43.5 وللحجر الرملي 55.5 وللأنهيريت 50 (في حال أكثر من نوع في التشكيلة المأخوذة، فإنه تأخذ القيمة المتوسطة Δtma).



الشكل 3: عينة من لمعطيات سجل بئر القريتين، وفقاً لـ [19].

نطبق قيمة \emptyset المحسوبة من العلاقة رقم 3 فنحصل على قيمة المسامية الأولية للرسوبات \emptyset_0 ، وذلك مع العلم أن الثابت c هو ثابت يعبر عن مقدار تناقص مسامية كل نوع صخري مع زيادة العمق بمقدار 1كم ويعطي كنسبة مؤدية، وهناك قيم محددة للمعامل c لكل نوع صخري مثل الحجر الكلي 31%， الدولوميت 31%， الحجر الرملي 39%， الغضار 51%， الكونغلوميرا 27%， (في حال أكثر من نوع من الصخور ضمن التشكيلة أو الوحدة المأخوذة والتي تعكس جزء معين السجل الصوتي فإننا نأخذ القيمة المتوسطة C) حسب [11-12].

نطبق قيمتا المسامية \emptyset و \emptyset_0 في العلاقة 2 فنحصل على ثمانية الرسوبات الأولية S_0 ، لا بد من التوسيع إلى أنه يتم تقسيم التشكيلة الممثلة بعمر جيولوجي محدد إلى عدة مجالات بالاعتماد على تغيرات المسامية الحالية والليثولوجيا ثم يتم حساب المسامية والثمانية الأولية للرسوبات لكل مجال ضمن العمر الزمني.

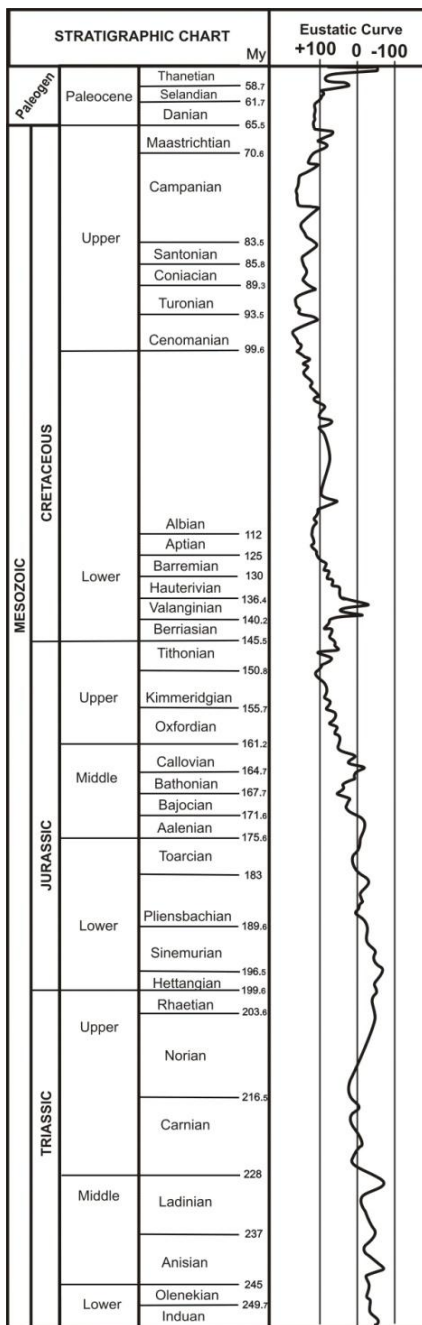
1- حساب كثافة الرسوبات ρ_s بعد فك التراص للتشكيلات في كل عمر جيولوجي محدد، بعد أن يتم فك التراص لكل مجال صخري وحساب الثمانية الأولية له، وذلك بدءاً من الأقدم إلى الأحدث ، ومن ثم حساب قيمة الكثافة لكامل المجال: وذلك وفق العلاقة وفقاً لـ [12].

$$\rho_s = \sum [\rho_w \emptyset_0 + \rho_{gi} (1 - \emptyset_0)] S_0 / S_0 \quad \dots \dots \dots (5)$$

حيث: ρ_w كثافة الماء، وقيمتها ثابتة وتقدر ب $1.03 \text{ غ}/\text{سم}^3$ ، ρ_{gi} هي كثافة الحبات الرسوبيّة، وهي تكون معطاة في جدول خاص يوضح قيمها لكل نوع صخر ومثلاً تكون قيمتها للحجر الكلي $2.71 \text{ غ}/\text{سم}^3$ للغضار $2.72 \text{ غ}/\text{سم}^3$ ، للمارل $2.715 \text{ غ}/\text{سم}^3$ ، للكونغلوميرا $2.68 \text{ غ}/\text{سم}^3$ ، للرملي $2.65 \text{ غ}/\text{سم}^3$.

2- حساب مقدار التحميل الرسوبي الموضح في العلاقة 1 وهو: $(\rho_m - \rho_s) / (\rho_m - \rho_w)$ حيث: ρ_m كثافة المعطف وتقدر ب $3.25 \text{ غ}/\text{سم}^3$. ρ_w كثافة الماء وتقدر ب $1.03 \text{ غ}/\text{سم}^3$.

- 3 تحديد مقدار تغير منسوب البحر Δs_l خلال الزمن الجيولوجي الذي ترسّبت خلاله تشكيلة ما، ويكون موجباً إذا كان منسوب البحر أعلى من المنسوب الحالي للبحار والمحيطات، ويكون سالباً إذا كان أقل من المنسوب الحالي للبحار والمحيطات. تعود التغيرات في منسوب سطح البحر عالمياً إما لتغيير في حجم مياه المحيطات أو لتغيير في حجم الأحواض المحيطية التي ترتبط بالبركنة في مناطق الأعراف المحيطية، وانتشار قياع المحيطات، وذوبان الصفائح الجليدية أو نموها حسب [20-24]، حيث تم في هذا العمل الاعتماد على المنحنيات هذه وأخذت القيم المتوسطة لهما لتقدير تغيرات منسوب سطح البحر خلال الميزوزوي الشكل 4.
- 4 تحدد W_d عمق وسط الترسّيب الذي تشكّلت فيه طبقة أو تشكيلة رسوبيّة وتقدر بمجال بالمتر (المتوسط) من خلال سخنة الرسوبيات الليتولوجية والباليونتولوجية للطبقة أو التشكيلة، واعتمد في تحديدها الدراسات الترسّيبية والستراتغرافية السابقة في المنطقة وفقاً لـ [25]، وأعطيت W_d قيمة متوسطة بين قيمتين دنيا وعليها وحسب على أساسها الهبوط التكتوني، تم تقسيم السجل البئري إلى وحدات متشابهة من حيث شكل السجل وقيمة، والتي تعكس ليتولوجيا متشابه من حيث التركيب والاستمرار، لنقوم ونحسب الهبوط التكتوني لكل تشكيلة.
- 5 بعد إجراء كل الحسابات سابقة الذكر نعرض القيم في العلاقة 1 فنحصل على قيمة Y و Y_t في فترة جيولوجية محددة. نقوم بتكرار تطبيق جميع الخطوات السابقة على كل تشكيلة ستراتغرافية ممثلة لعمر جيولوجي لنحصل على قيم الهبوط على كامل أدوار السلم стراتغرافي للوحظ، ونقوم برسم منحنى يربط تغير قيم الهبوط التكتوني مع الزمن الجيولوجي، فنحصل على منحنى الهبوط الذي يفسر ويحدد تاريخ تطور الحوض الرسوبي وأهم المراحل التكتونية التي مر بها. وهنا لا بد من التوبيه إلى أن قيمة الهبوط التكتوني Y قد تكون موجبة وتعني هبوط نحو الأسفل وقد تكون سالبة وتعني هنا نهوض لقاع الحوض.
- ملاحظة: بئر القربيتين هي البئر الوحيدة المتوفرة في المنطقة، وقد أختلفت التشكيلات من كامبانيا العائد للكريتاسي الأعلى حتى طابق الأنسيان العائد للترياسي الأوسط بشكل مستمر، وهي كافية للدراسة الهبوط التكتوني على مستوى منطقة القربيتين، حسب الدراسات العالمية والمحلية التي ذكرناها سابقاً، والتي سوف نذكرها لاحقاً حسب الحاجة لها.



الشكل 4: تغير منسوب البحر خلال الزمن الجيولوجي حسب [21].

النتائج والمناقشة:

في هذا العمل اعتمدت معطيات بئر القريتين الشكل 1 كأساس وممثل للبيوستراتغرافية المنطقة، وذلك كونها تخترق التشكيلات الجيولوجية من الباليوجين حتى триاسي الأسفل، ولعدم وجود أي صدع أو طي يعقد الترتيب السтратغرافي للتشكيلات في الحوض، كما أن الطبقات المختلفة في البئر هي أفقية مما يعني أن سماكة التشكيلات الواردة في معطيات الحفر هي سماكات حقيقة، ولا تحتاج إلى تصحيحات مما يسهل عملية تطبيق حساب الهبوط التكتوني على العمود الليتوولوجي في بئر القريتين.

تحتاج عملية الحساب هذه إلى تقسيم العمود الليتوولوجي في بئر القرتيتين إلى مجالات تتم عليها عملية حساب الهبوط التكتوني الواردة في طريقة العمل، وتم الاعتماد في هذا التقسيم على التغيرات في منحني التسجيل البئري الصوتي وعلى العمر الجيولوجي للتشكلات. تم تقسيم العمود الليتوولوجي في البئر إلى 23 مجال: 13 مجال في الترياسي، 2 مجال في الجوراسي، 8 مجال في الكريتاسي (الشكل 5).

ليتوستراتغرافية بئر القربيتين: اخترقت بئر القربيتين مجموعة من التشكيلات الروسوبية تعود في أعمارها من الباليوجين حتى الترياسي الأسفل بعمق حفر 3250 متر، حسب معطيات بئر القربيتين في المؤسسة العامة للنفط، حيث قسمت التشكيلات إلى مجالات اعتماداً على SONIC (شكل السجل البئري $\Delta \log$ وتغيراته بالنسبة لتشكيلات) وهي كالتالي الشكل 5 : الترياسي (3250-1650م) : قسم لثلاثة عشر مجال. يتكون الترياسي الأوسط من غضار والرمل وكلس ودولوميت وأنهيريت التي تراوحت نسبها المئوية 30 و 25 و 20 و 20 و 5% على التوالي. ويكون الترياسي الأعلى أيضاً من الحجر الكلسي والدولوميت وأنهيريت وغضار التي تراوحت نسبها المئوية 45 و 40 و 10 و 5% على التوالي، حسب معطيات بئر القربيتين (المؤسسة العامة للنفط).

الجوراسي (1450-1650م): قسم لمجالان فقط. يتكون من كلس دولوميتي وكلس غضاري تتوزع نسبها المئوية على 75% على التوالي.

الكريتاسي (100-1450م): قسم للثمانية مجالات. فيتتألف الكريتاسي الأسفل من كلس وغضار تتوزع نسبها المئوية 75% على التوالي، أما الكريتاسي الأعلى يتتألف من كلس ودولوميت وغضار بنس比 40% و20% على التوالي.

الشكل 5: العمود اللिटوستراتغرافي في بئر القربتين موضحاً عليه المجالات المستخدمة كأساس في حساب الهيوب التكتوني، (الباحث).

حساب الهبوط التكتوني:

قمنا بتطبيق طريقة العمل المذكورة سابقاً على مجالات العمود الليتولوجي في بئر القريتين، حيث تم فك تراص الوحدات الصخرية في العمود الليتولوجي من الأسفل (الترíasي الأوسط) إلى الأعلى (السيونينيان)، كذلك تم تحديد عمق الترسيب وتغيرات منسوب سطح البحر الموافق لكل وحدة صخرية وحساب كثافة الرسوبيات وأخيراً تطبيق العلاقة

(1) لحساب هبوط قاع حوض الترسيب في كل عمر جيولوجي. يوضح الجدول 1 ما يلي:

تراوحت قيم مسامية الطبقات الصخرية (ϕ) المحددة بالعلاقة (4) في العمود الليتولوجي لبئر القريتين ما بين 1% و 19% في الطبقات الصخرية ذات العمر الترíasي الأوسط في الأعمق التي تزيد عن 2000م تقريباً، بينما تزيد هذه المسامية لتصل حتى 23% في الطبقات الصخرية التي تقل أعمقها عن 2000م والتي تعود للكريتاسي والجوراسي والترíasي الأعلى. أما مسامية الرسوبيات (ϕ_0) المحددة بالعلاقة (2) فتضاعفت قيمها عن قيمة مسامية الطبقات الصخرية (ϕ) بنسب تتراوح بين 50-120%.

-1 تراوحت الزيادة في سماكة الرسوبيات (S_0) بعد فك تراص الطبقات الصخرية بين 2% و 150% والتي تلعب المسامية الأولية والعمق والتركيب الليتولوجي دوراً في زيادة قيمتها (مثلاً الغضار أو الشيل يزيد من قيمة سماكة الرسوبيات بعد فك تراصها).

-2 حدّدت قيم كثافة الرسوبيات بحسب العلاقة (5) وسطياً بحدود 2.52 غ/سم³. أظهرت المجالات (S1-S8) قيماً منخفضة للكثافة (2.30 غ/سم³) تعود لزيادة قيم المسامية الأولية في هذه المجالات بشكل ملحوظ، ولزيادة نسبة الغضار.

-3 إن عمق عمود الماء في الوسط الترسيري (W_d) متغير من تشكيلة صخرية لأخرى. لقد تم وضع قيمتين لعمق عمود الماء لضمان الدقة في الحسابات، قيمة دنيا و قيمة عليا، أي مجال من العمق، وأخذ القيمة الوسطية له لكل تشكيلة رسوبيّة. بينت الدراسات السابقة أن وسط الترسيب في معظمها بحري في منطقة البلاقورم في بيئة نيريتية عليا وسفلى وأعمق لا تتجاوز الا 200م لعمود الماء.

-4 شهد منسوب البحر تغيرات هامة تراوحت من أقل من 50م عن مستوى البحر الحالي في الترíasي الأسفل إلى أكثر من 150م عن مستوى البحر الحالي في الكامبانيان.

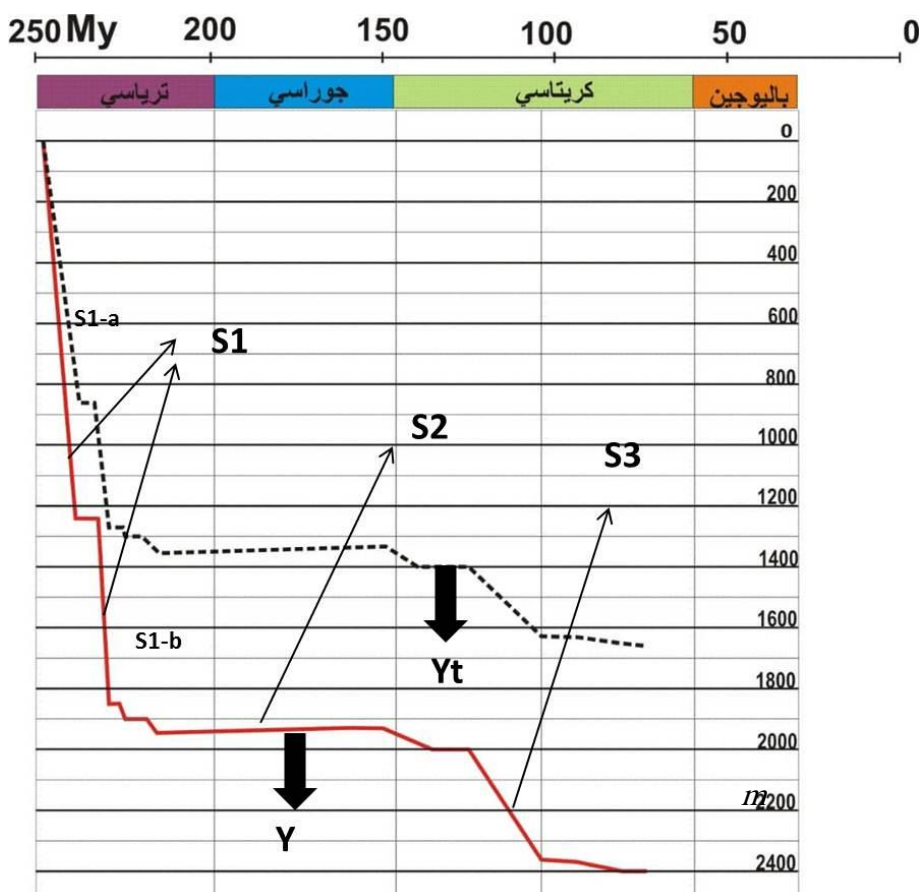
-5 تبين قيم الهبوط التكتوني المتوسطة المحسوبة بناء على العلاقة (1) وكل الحسابات اللازمة الداخلة في هذه العلاقة، وجود قيم هبوط موجبة في الترíasي الأوسط والأعلى وفي الكريتاسي، بينما كانت قيمة الهبوط سالبة في الجوراسي، القيم الموجبة تعني هبوط قاع حوض الترسيب نتيجة سبب تكتوني كالصدوع العادمة المرافقة لمرحلة تكتونية شديدة، والقيم السالبة تعني نهوض الترسيب المتزامن مع مرحلة تكتونية ضغطية.

الجدول 1: القيم المحسوبة المستخدمة في حساب الهبوط التكتوني.

الهبوط التكتوني الكلي m بـ Y	الهبوط التكتوني m بـ Yt	الصرف البحر m بـ ΔSL	تغيرات منسوب البحر Wd m بـ gr/cm³	S₀ m بـ	Φ₀	Φ	S بـ m	بـ Y m	الوحدات	العمر الزمني
51.04	19.99	67.5	50	2.30	105. 78	0.2 30	0.1 85	10 0	400	S1-1 ساندونيان كامبانيا
					55.6 0	0.3 15	0.2 39	50	500	S1-2 ساندونيان كامبانيا
194.07	159.11	76	30	2.52	103. 84	0.1 76	0.1 45	10 0	550	S2-1 سينومانيا تورونيان
					204. 38	0.0 89	0.0 69	20 0	650	S2-2 سينومانيا تورونيان
					109. 21	0.2 64	0.1 96	10 0	850	S2-3 سينومانيا تورونيان
					100. 82	0.0 24	0.0 16	10 0	950	S2-4 سينومانيا تورونيان
					219. 44	0.1 94	0.1 16	20 0	105 0	S2-5 سينومانيا تورونيان
83.03	79.35	8	10	2.43	219. 54	0.1 66	0.0 85	20 0	125 0	S3 باريميان أسيان
-8.93	-31.93	50	5	2.71	150. 54	0.0 07	0.0 03	15 0	145 0	S4-1 جوراسي أوسط
-23.96	-46.96	50	10	2.58	53.5 3	0.1 09	0.0 46	50	160 0	S4-2 جوراسي أسفل أوسط
39.49	37.657	4	10	2.55	107. 53	0.1 24	0.0 58	10 0	165 0	S5 كارنيان
39.60	44.20	-10	5	2.75	110. 02	0.1 54	0.0 69	10 0	175 0	S6 لاندنس كارنيان
154.62	159.22	-10	10	2.98	341. 54	0.1 89	0.0 77	30 0	185 0	S7-1 لاندنس لاندنس
					102. 51	0.0 37	0.0 13	10 0	215 0	S7-2 لاندنس
					340. 08	0.3 54	0.1 22	25 0	225 0	S7-3 لاندنس
					348. 79	0.6 50	0.2 36	16 0	250 0	S7-4 لاندنس
1184.6	1226.	-90	10	1.71	39.3 1	0.3 25	0.1 15	30	266 0	S8-1 أنسيان
					98.2 0	0.1 13	0.0 32	90	269 0	S8-2 أنسيان
					144. 61	0.2 04	0.0 79	12 5	278 0	S8-3 أنسيان
					525. 43	0.7 67	0.1 57	14 5	290 5	S8-4 أنسيان
					136. 37	0.3 43	0.1 04	10 0	305 0	S8-5 أنسيان
					239. 92	0.6 64	0.1 94	10 0	315 0	S8-6 أنسيان
					385. 29	0.6 16	0.1 29	17 0	325 0	S8-7 أنسيان

منحنى الهبوط التكتوني خلال الزمن الجيولوجي: يبين الشكل 6 التطور البنائي للحوض الروسي في جنوب حوض التدميرية منذ الترياسي الأسفل حتى السينونيان، حيث يوضح هذا الشكل الهبوط التكتوني لقاعدة الترياسي خلال المراحل التكتونية المختلفة التي مرت بها المنطقة. يبين منحنى الهبوط التكتوني في الشكل 6 ما يلي:

- 1 وجود ثلات مراحل رئيسة لتطور الحوض الرسوبي وهي S1,S2,S3، تعكس ثلات أعمار على التوالي الترياسي والجوراسي والكريتاسي.
- 2 المرحلة الرئيسية S1 تعكس هبوط مستمر وكبير خلال الترياسي (الأوسط إلى الأعلى)، والذي يفسر السماكة الكبيرة لرسوبات والتي بلغت 1770م ضمن وسط مائي يتراوح تقربياً من 0 – 100م. تقسم المرحلة الرئيسية S1 إلى مرحلتين ثانويتين S1-a و S1-b، في نهاية المرحلة S1-a نلاحظ استقرار نسبي في الهبوط يعكس مرحلة استقرار نسبي في هبوط الحوض الترسبي والذي عكس بداية تشكيلة كورشينا دولوميت ليستمر الهبوط بشكل مستمر في المرحلة S1-b وفق هبوط مستمر برفاقه استقرار نسبي في سماكة مياه البحر، ليكون في النهاية استقرار نسبي في الهبوط يعكس بداية تشكيلة كورشينا انهدرت ليعود أيضاً استمرار الهبوط بشكل أكبر ليعكس تشكيلة البطمة وفي النهاية استقرار نسبي في هبوط الحوض الترسبي في نهاية الترياسي.
- 3 المرحلة S2 هي مرحلة استقرار نسبي في هبوط الحوض خلال الجوراسي، ونهوض في نهايتها في قاع حوض الترسبي.
- 4 المرحلة S3 هي مرحلة هبوط على مرحلتين، في بدايتها هبوط بسيط يتبعته استقرار نسبي في الكريتاسي الأسفل (الأبسيان والأليان)، تليها مرحلة هبوط كبيرة، في نهايتها استقرار نسبي طفيفة مع هبوط تدريجي طفيف الحوض أقل من قيمة هبوط حوض في المراحل التي سبقتها.



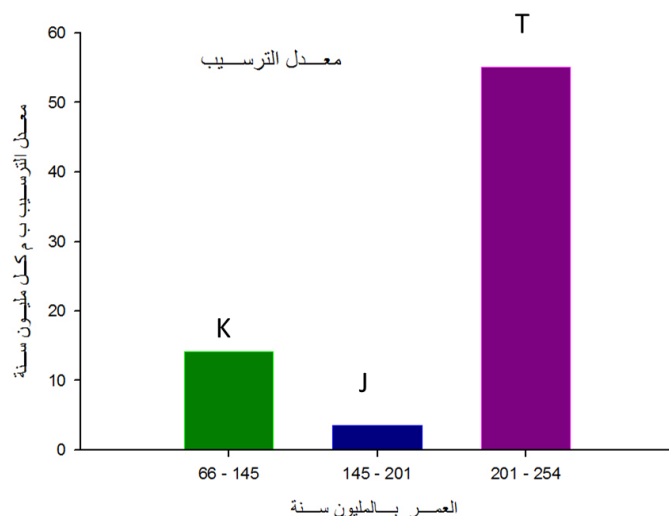
الشكل 6: منحني الهبوط التكتوني Y ، ومنحني الهبوط التكتوني الكلي Y_t ، ومحدد عليه المراحل الرئيسية لغيرات قاع حوض الترسيب، (الباحث).

من الجدول 1 نقوم بحساب السماكة الكلية الأولية لكل دور الatrias والجوراسي والكريتاسي، ثم نقسم السماكة الكلية على المدة الزمنية لكل دور، فنحصل على معدل الترسيب بالمتر كل مليون سنة، كما هو موضح بالجدول (2)، نحوال هذه القيم إلى منحني بياني كما هو موضح بالشكل(6)، ونقارنه مع منحني الهبوط التكتوني.

الجدول 2: الفي المستخدمة في حساب معدل الترسيب.

معدل الترسيب المدة الزمنية/ السماكة	المدة الزمنية لكل دور	السماكة الكلية الأولية للرسوبات	العمرالزمني	الدور
14.15 m/My	79My	1118.2m	66 – 145 My	الكريتاسي
3.6 m/My	56 My	204m	145 – 201 My	الجوراسي
57.2m/MY	51 My	2922m	201 – 252 My	الatrias

يبين الجدول 2 والشكل 7 أن قيم معدل الترسيب في دور الatrias كبيرة، والذي يوافق مرحلة هبوط كبيرة ومستمرة في قاع الحوض الرسوبي خلال هذا الدور، أم قيم معدل الترسيب فهي صغيرة في دور الجوراسي، والذي يواافق مرحلة استقرار نسبي، والنهاية في قاع الحوض الرسوبي خلال نهاية هذا الدور سببت حتى جزء من هذه التشكيلة، تزداد قيم معدل الترسيب في دور الكريتاسي والذي يواافق مرحلة هبوط في قاع الحوض الرسوبي خلال هذا الدور.



الشكل 7: معدل الترسيب للتشكلات الرسوبيّة في بئر القربيتين، (الباحث).

منحني الهبوط التكتوني في إطار مراحل التطور التكتوني لسوريا:

إن منحني الهبوط التكتوني المبين في الشكل 6 والمراحل التكتونية المبينة عليه تتوافق مع التطور التكتوني في سوريا وحتى على مستوى شمال الصفيحة العربية:

من المعروف في زمن البرمي حتى الجوراسي حدث افتتاح مجالات النيو-تيتس التي رافقها هبوط تكتوني وتشكل أحواض باتجاه NW-SE في التدمرية حسب [26-27]، كذلك تركزت سماكة من رسوبات الجوراسي في مراكز ترسيب في البشري والبلعاس مما يشير لمتابعة الهبوط في زمن الجوراسي الأسفل تحت تأثير التطور الحراري للحوض الذي تبع مرحلة الانهدام الرئيسية في البرمي-atrias وفقاً [3,28,8,7].

في الجوراسي الأعلى، تم تسجيل مرحلة انسحاب بحرية مترافقة مع حـتـ. حيثـ الجزء الأكـبـرـ منـ سـورـياـ تحـولـ إـلـىـ بيـئـةـ قـارـيـةـ فـيـ الـكـيمـيرـيـدـجيـانـ الأـعـلـىـ حـسـبـ [29]ـ،ـ إنـهاـ المـرـحـلـةـ الـمـسـؤـلـةـ عـنـ حـتـ وـغـيـابـ جـزـءـ مـنـ رـسـوـيـاتـ الـجـورـاسـيـ فـيـ شـمـالـ وـجـنـوبـ الـتـدـمـرـيـةـ.ـ إنـ هـذـهـ الـمـرـحـلـةـ التـكـتـونـيـةـ الـهـامـةـ مـسـجـلـةـ أـيـضـاـ عـلـىـ منـحـنـيـ الـهـبـوـطـ التـكـتـونـيـ فـيـ بـئـرـ الـقـرـيـتـينـ عـلـىـ شـكـلـ نـهـوـضـ.ـ أـرـجـعـ باـحـثـونـ هـذـهـ الـمـرـحـلـةـ الـحـتـيـةـ إـلـىـ نـهـوـضـاتـ مـحـلـيـةـ عـلـىـ شـكـلـ طـيـ ذـوـ طـوـلـ كـبـيرـ جـداـ فـيـ مـوـجـتـهـ كـمـاـ فـيـ سـيـنـاءـ وـشـمـالـ مـصـرـ وـفـقـاـلـ [30]ـ،ـ وـفـيـ جـنـوبـ شـرـقـ أـوـرـوـبـاـ حـسـبـ [31]ـ،ـ فـيـ نـهـاـيـةـ الـجـورـاسـيـ،ـ وـفـيـ الـكـرـيـتـاسـيـ الـأـسـفـلـ حـدـثـ تـجـاـزـ بـحـرـ إـقـلـيمـيـ غـطـىـ الـجـزـءـ الشـمـالـيـ مـنـ الـبـلـاقـورـمـ الـعـرـبـيـ بـتـوـضـعـاتـ نـهـرـيـةـ دـلـتـاوـيـةـ وـكـرـيـوـنـاتـ لـبـحـرـ قـلـيلـ الـعـمـقـ،ـ وـفـيـ الـوـاقـعـ تـسـجـيلـ الـمـرـحـلـةـ التـكـتـونـيـةـ الشـدـيـةـ هـذـهـ فـيـ الـكـرـيـتـاسـيـ الـأـسـفـلـ عـلـىـ منـحـنـيـ الـهـبـوـطـ فـيـ مـنـطـقـةـ الـدـرـاسـةـ،ـ وـفـيـ التـورـونـيـانـ-ـالـسـانـتوـنـيـانـ-ـالـكـوـنـيـاسـيـانـ حـدـدـ نـهـوـضـ مـمـثـلـ بـوـضـحـ عـلـىـ منـحـنـيـ الـهـبـوـطـ فـيـ حـوـضـ نـهـرـ الـكـبـيرـ الشـمـالـيـ وـفـيـ السـاحـلـيـةـ فـيـ أـعـلـىـ الـكـرـيـتـاسـيـ حـسـبـ [4]ـ،ـ وـيـرـتـبـطـ بـمـرـحـلـةـ الـاعـتـلـاءـ الـأـوـفـيـولـيـتـيـ عـلـىـ هـامـشـ الصـفـيـحةـ الـعـرـبـيـةـ.ـ هـذـاـ نـهـوـضـ لـمـ يـظـهـرـ فـيـ بـئـرـ الـقـرـيـتـينـ لـبـعـدـ عـنـ نـطـاقـ الـاعـتـلـاءـ.ـ فـيـ الـوـاقـعـ تـسـجـيلـ مـرـحـلـةـ تـكـتـونـيـةـ شـدـيـةـ فـيـ الـكـرـيـتـاسـيـ الـأـعـلـىـ عـلـىـ منـحـنـيـ الـهـبـوـطـ فـيـ مـنـطـقـةـ الـدـرـاسـةـ وـهـيـ تـرـازـمـنـ مـعـ تـشـكـلـ انـهـدـامـاتـ مـثـلـ اـنـهـدـامـ الـفـراتـ.ـ

الاستنتاجات والتوصيات:

- خلال دور الترياسي هناك مرحلة هبوط مستمرة رئيسة وكبيرة في قاع الحوض الترسبي S1، تتوافق مع مرحلة الإنهاـمـ الـبـرـميـ التـريـاسـيـ،ـ الـتـيـ تـقـسـمـ إـلـىـ مـرـحـلـتـيـنـ ـثـانـويـتـيـنـ 1ـ وـ 2ـ s1ـ وـ s2ـ،ـ وـالـتـيـ تـرـافـقـتـ مـعـ مـعـدـلـاتـ تـرـسـيـبـ كـبـيرـ (57.2 m/My).
- في دور الجوراسي سادت مرحلة رئيسة S2 والتي عكست استقرار نسبي في هبوط قاع الحوض الترسبي ونهوض قي قاع هذا الحوض، توافق مع مرحلة نهوضات محلية على شكل طي طویل جداً بعد مرحلة هبوط حراري في البداية، والتي ترافقت مع معدل ترسيب صغير (3.6 m/My).
- في دور الكريتاسي سادت مرحلة رئيسة S3، والتي عكست مرحلتي هبوط قاع الحوض الترسبي (أقل من قيمة الهبوط التكتوني في الترياسي)، وتتوافق مع مرحلة تشكيل انهدامات مثل انهدام الفرات، والتي ترافقت مع معدل ترسيب كبير نوعاً ما (14.15 m/My) مقارنة مع معدل الترسيب في دور الترياسي.

يوصي البحث:

بالتوسيع في حساب الهبوط التكتوني في كامل السلسلة التدميرية الجنوبية والشمالية ورسم خرائط تساوي الهبوط لكل مرحلة زمنية اعتماداً على معطيات الآبار، وتكامل النتائج مع بعضها لوضع تصور أدق عن مراكز الهبوط الرئيسية في هذه المنطقة ضمن إطارها الإقليمي.

References:

- [1] M.F.Brunet, Méthode d'étude quantitative de la subsidence, Dans Dynamique et Methodes d`étude des Bassins Sedimentaires, Association des Sedimentologistes Français, pp. 87-98,(1989).
- [2] A.B.Watts, An analysis of Isostasy of the world's oceans, Journal of geophysical research, vol.83, pp.5989-6004, (1978).
- [3] T.Chaimov, M.Barazangi, D.AL-saad, T.Sawaf, and A.Gebran, Mesozoic and Cenozoic deformation inferred from seismic stratigraphy in southwestern intracontinental Palmyride fold-thrust belt, Syria, Geological Society of America Bulletin, vol 104.6, pp.704-715, (1992).
- [4] A.AL-Abdalla, Evolution Tectonique de la Plate-forme Arabe en Syrie depuis le Mésozoïque, Thèse Doct, Université de Paris6, PP.302, (2008).
- [5] Z.R.Beydoun, Arabian plate hydrocarbon geology and potential-a plate tectonic approach: Am. Assoc. Petrol. Geol, Study in Geol, vol.33, pp.77, (1991).
- [6] J.F.Salel, Tectonique de chevauchement et inversion dans la chaîne des Palmyrides et le Graben de l'Euphrate (Syrie) ; conséquence sur l'évolution de la plaque arabe. Mémoire de thèse à l'université de Montpellier 2, vol , pp.288, (1993).
- [7] J.A.Best, Crustal evolution of the northern Arabian platform beneath the Syrian Arab Republic, Unpublished PhD thesis, Cornell University, Ithaca, pp.152, New York, (1991).
- [8] R.K.Litak, M.Barazangi, W.Beauchamp, D.Seber, G.Brew, T.Sawaf, and W.AL-Yuossaf, Mesozoic-Cenozoic evolution of the intraplate Euphrates fault system, Syria: implications for regional tectonics. Journal of the Geological Society, vol.154, pp.653–666, London, (1997).
- [9] V.P.Ponikarov, The geology of Syria. Explanatory Notes on the Geological Map of Syria, scale 1:200 000, Ministry of Industry, Syrian Arab Republic, (1966).
- [10] T.Sawaf, Z.Tarek, Paleozoic and Mesozoic litho-stratigraphy of the northern Arabian Platform, Syria. IGCP, project 343, Damascus Conference, 2 September, p.8, Syria, (1996), In Arabic.
- [11] M.S.Stekler, A.B.Watts, Subsidence of Atlantic-type continental margin off New York, Earth and Planetary Science Letters, Vol.41, pp.1-1, (1978).
- [12] M.S.Stekler, A.B.Watts, and J.A.Thorne, Subsidence and basin modeling at the U.S. Atlantic passive margin, Geological Society of America, vol.1-2, pp.399-41, (1988).
- [13] M.F.Brunet, Etude qualitative de la subsidence du bassin de Paris, Thèse 3 cycle, Univ. Pierre et Marie Curie, Paris6, pp.161,(1981).
- [14] K.G.Miller, M.A.Kominz, J.V.Browning, J.D.Wright, G.S.Moutain, M.E.Katz, P.J.Sugarman, B.S.Cramer, N.Christie-Blick, and S.F.Pekar, The Phanerozoic record of global sea-level change, Journal Science, vol.310(5752), pp.1293–1298, (2005).
- [15] P.W.Choquette, N.P.Jamas, Digenesis in limestone, the deep burial environment, Geosciences Canada, vol.14, pp.3-35, (1987).
- [16] M.Mouty, K.Al-Maleh, Geological study of the Palmyrides chain. Syrian Ministry of Petroleum and Mineral Resources, Damascus, p.1-257, (1983), In Arabic.
- [17] L.L.Raymer, E.R.Hunt, and J.S.Garder, An Improved Sonic Transit Time-to-Porosity Transform, SPWLA Trans, 21st Ann, Log. Symp, (1980).
- [18] M.H.Kamel, W.M.Mabrouk, AND A.I.Bayoumi, Porosity Estimation Using a Combination of Wyllie-Clemenceau Equation in Shaly Sand Formation from Acoustic Logs, Journal of Petroleum Science and Engineering, vol.33, pp.241-251, (2002).

- [19] General Petroleum Corporation, Syrian Ministry of oil, Records of Well All – Qaratayn, Damascus, (2003). In Arabic.
- [20] P.R.Vial, R.M.JR.Mitchum, S.Thompson, Seismic stratigraphy and global changes of sea level, part4: global cycles of relative changes of sea level. In Seismic stratigraphy applications to hydrocarbon exploration. Edited by C.E. Payton. American Association of Petroleum Geologists, Memoir 26, pp.201-225, (1977).
- [21] P.R.Vail, R.M.JR.Mitchum, Global cycles of relative changes of sea-level from seismic stratigraphy, American Association of Petroleum Geologists, Memoir 29, (1979).
- [22] M.A.Kominz, J.V.Browning, K.G.Miller, P.J.Sugarman, S.Misintseva, and C.R.Scotese, Late Cretaceous to Miocene sea-level estimates from the New Jersey and Delaware coastal plain coreholes: An error analysis, Basin Research , vol.26, PP.211–22, (2008).
- [23] K.G.Miller, M.A.Kominz, J.V.Browning, J.D.Wright, G.S.Moutain, M.E.Katz, P.J.Sugarman, B.S.Cramer, N.Christie-Blick, and S.F.Pekar, The Phanerozoic record of global sea-level change, Journal Science, vol.310(5752), pp.1293–1298, (2005).
- [24] W.C.Pitman, Relationship between eustasy and stratigraphic sequences of passive margins. Geological Society of America Bulletin, vol.89, pp.1389-1403, (1978).
- [25] M.Mouty, Données nouvelles sur le Jurassique dans les Palmyrides, Syrian geological magazine, vol.2, pp.20-22, (1978). In Arabic.
- [26] G.Brew, M.Barazangi, A.K.AL-maleh, AND T.Sawad, Tectonic and Geologic Evolution of Syria, GeoArabia, n 6, 4. pp.573-616, (2001).
- [27] T.Sawaf, G.Brew, R.KLitak, and M.Barazangi, Geologic evolution of the intraplate Palmyride Basin and Euphrates fault system, Syria. In, W. Cavazza, A. Robertson and P. Ziegler (Eds.), PeriTethyan rift/wrench basins and passive margins, Memoires du Muséum National d'Historie Naturelle, PeriTethys Memoir 6, Paris, (2001).
- [28] T.Chaimov, M.Barazangi, D.AL-saad, and T.Sawaf, Seismic fabric and 3-D upper crustal structure of the southwestern intracontinental Palmyride fold belt, Syria, American Association of Petroleum Geologists Bulletin, vol.77, pp.2032-2047, (1993).
- [29] M.Mouty, The Jurassic in Syria: an overview. Lithostratigraphic and biostratigraphic correlations with adjacent areas. In, S. Crasquin-Soleau and E. Barrier (Eds.), New data on PeriTethyan sedimentary basins. Memoires du Muséum National d'Historie Naturelle, Paris, PeriTethys Memoir 5, pp.159–168, (2000).
- [30] M.L.Keeley, R.J.Wallis, The Jurassic System in the Northern Egypt: II, Depositional and tectonic regimes, Journal of Petroleum Geology, vol.14, pp.49–6, (1991).
- [31] A.M.Nikishin, P.A.Ziegler, S.Cloething, R.A.Stephenson, A.V.Furne, P.A.Fokin, A.V.Ershov, S.N.Bolotov, M.V.Koraev, A.S.Alekseev, I.Gorbachev, E.V.Shipilov, A.Lankrejer, and I.V.Shalimov, Late Precambrian to Triassic history of the East European Craton: dynamics of sedimentary basin evolution. Tectonophysics, vol. 268, pp.23-63, (1996).

